

## К ТЕОРИИ НЕСТАЦИОНАРНЫХ ВИХРЕЙ В ИДЕАЛЬНОЙ ЖИДКОСТИ

И. М. МИНДЛИН

(Горький)

В работе формулируются уравнения, описывающие эволюцию области с отличной от нуля завихренностью. Получено решение этих уравнений на ограниченном интервале времени для областей, имеющих в начальный момент форму сферы или кругового цилиндра. Показано, что сферический вихрь, возникший в покоящейся среде, начинает двигаться, вытягиваясь в направлении движения; цилиндрический вихрь под влиянием неравномерности интенсивности вихря на его границе изменяет свою скорость по величине и направлению, описывая криволинейную траекторию. Получены формулы, описывающие начальный этап эволюции жидкой сферы одной плотности в жидкой среде другой плотности.

Пусть в момент  $t=0$  в объеме, ограниченном поверхностью  $V=0$  (фигура), завихренность  $\zeta = \text{rot } \mathbf{q} \neq 0$  ( $\mathbf{q}$  — скорость жидкости), а вне его  $\zeta=0$ . Будем далее называть такой объем вихрем. Эволюция вихря при  $t>0$  изучена в исключительных случаях. Круговой цилиндрический вихрь и вихрь Хилла являются стационарными; они сохраняют свою форму и скорость [1]. Нестационарным вихрям посвящены работы [2, 3].

В предлагаемой работе изучается класс нестационарных вихрей, ограниченных вихревой поверхностью, в окрестности которой разрывна касательная составляющая вектора скорости.

1. Условия на вихревой поверхности. Рассмотрим идеальную, несжимаемую жидкую среду, разделенную на части вихревой поверхностью  $V=0$  (фигура). Жидкость находится в поле силы тяжести, направленной вниз параллельно оси  $x$ . Движение предполагается осесимметричным с осью симметрии  $x$ . При сделанных предположениях существует функция тока  $\Psi$  [1].

Пусть  $\zeta = \zeta i_z$ ,  $i_z$  — орт, нормальный к меридиональной плоскости. Завихренность  $\zeta$  удовлетворяет уравнению [1]

$$(1.1) \quad \frac{\partial \zeta}{\partial t} + \frac{\partial \psi}{\partial x} \frac{\partial}{\partial y} (\zeta y^k) - \frac{\partial \psi}{\partial y} \frac{\partial}{\partial x} (\zeta y^k) = (\text{grad } P \times \text{grad } W) \cdot i_z$$

Здесь  $k=-1$  (в п. 6  $k=0$ ),  $t$  — время,  $P$  — давление,  $\rho$  — плотность,  $W = -\rho^{-1}$  — удельный объем, в правой части уравнения стоит смешанное произведение трех векторов.

На поверхности  $V=0$  скачком изменяется касательная к ней составляющая скорости. Это означает, что  $\zeta = B(x, y, t) \delta(V) + C(x, y, t)$ , где  $\delta(V)$  — функция Дирака, интенсивность завихренности  $B(x, y, t)$  определена в точках поверхности  $V=0$ ,  $C$  — регулярная составляющая завихренности — определена в жидком объеме;  $B$  и  $C$  — ограниченные функции.

Составим дифференциальное уравнение для  $B(x, y, t)$ . Перейдем к криволинейным координатам  $u, v$  по формулам  $u=U(x, y, t)$ ,  $v=V(x, y, t)$  с якобианом  $D \neq 0$ . В новых переменных вихревая поверхность описывается уравнением  $v=0$ . Любую функцию  $F(x, y, t)$  в новых переменных бу-

дем обозначать  $F_*(u, v, t)$ . Введем обозначения  $a_+ = a^+ = \lim_{v \rightarrow +0} a$ ,  $a_- = a^- = \lim_{v \rightarrow -0} a$ :

$$\frac{\partial a}{\partial v_+} = \lim_{v \rightarrow +0} \frac{\partial a}{\partial v}, \quad \frac{\partial a}{\partial v_-} = \lim_{v \rightarrow -0} \frac{\partial a}{\partial v}.$$

Очевидно,  $\partial W_*/\partial v = \varepsilon(u, t)\delta(b) + h(u, v, t)$ ,  $\varepsilon = W_+ - W_-$ ,  $h(u, v, t)$  — ограниченная функция;  $\varepsilon = 0$  в жидкости с непрерывной плотностью.

Перепишем (1.1) в новых переменных, после чего обе части этого уравнения проинтегрируем по  $v$  в пределах от  $-\gamma$  до  $\gamma > 0$  и перейдем к пределу при  $\gamma \rightarrow 0$ ; для обобщенных функций полагаем  $2 \int a(v)\delta(v)dv = a_+ + a_-$ .

После перехода к пределу, положив  $B_* = A(u, t)D_*$ , получим

$$(1.2) \quad \frac{\partial A}{\partial t} - \frac{1}{2} \frac{\partial}{\partial u} \left[ AD_* y^k \left( \frac{\partial \psi_*}{\partial v_+} + \frac{\partial \psi_*}{\partial v_-} \right) \right] - \varepsilon \frac{\partial P_*}{\partial u} = H(u, t)$$

$$H(u, t) = A \left[ \frac{\partial}{\partial v} \left( \frac{\partial V}{\partial t} \right) + y^k \frac{\partial \psi_*}{\partial u} \frac{\partial D_*}{\partial v} - \frac{1}{D_*} \frac{\partial D_*}{\partial t} \right] - \left[ \frac{\partial U}{\partial t} \frac{1}{D_*} \frac{\partial (AD_*)}{\partial u} \right]_+$$

Производные  $\partial P_*/\partial u$  и  $\partial \Psi_*/\partial u$  непрерывны.

Когда вихревая поверхность описывается уравнением  $x = V^*(y, t)$ , полагаем  $u = y$ ,  $v = x - V^*(y, t)$  и находим  $H = 0$ . Если любой луч, выходящий из точки  $O_1$  (фигура), пересекает

его поверхность в одной точке, полагаем

$$(1.3) \quad x = f(t) + [v + 1 + V^*(s, t)]s, \quad y = [v + 1 + V^*(s, t)]\sqrt{1-s^2}$$

$$s = \cos \theta, \quad r = v + 1 + V^*(s, t), \quad f' = df/dt$$

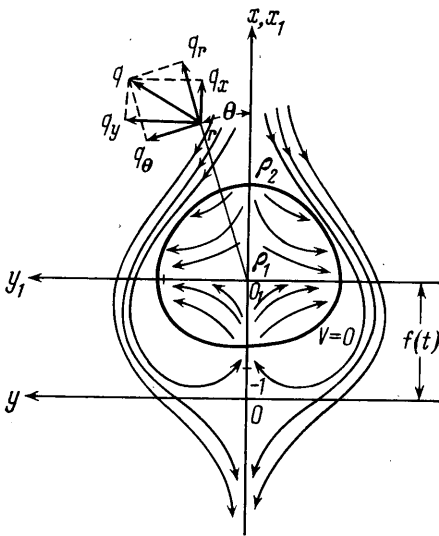
и находим, используя указанную ниже формулу (2.6):

$$D_* = \sqrt{1-s^2}/r, \quad H = \frac{\partial}{\partial s} \left[ Af'(t) \frac{1-s^2}{1+V^*} \right]$$

Уравнение (1.2) принимает вид

$$(1.4) \quad \frac{\partial A}{\partial t} = \frac{\partial}{\partial s} \left[ \frac{A}{2(V^*+1)^2} \left( \frac{\partial \psi_*}{\partial v_+} + \frac{\partial \psi_*}{\partial v_-} \right) + Af'(t) \frac{1-s^2}{1+V^*} \right] + \varepsilon \frac{\partial P_*}{\partial s}$$

**2. Уравнения некоторого класса нестационарных вихрей.** Пусть вихрь, образованный жидкостью плотности  $\rho_1 = \text{const}$ , окружен однородной жидкостью плотности  $\rho_2$ , причем в момент  $t=0$  он ограничен поверхностью  $V=0$  (фигура),  $V = r - 1 - V_0(\cos \theta)$ ,  $V < 0$  — внутренность вихря. В сфери-



ческих координатах с полюсом  $O_1$  (фигура) компоненты абсолютной скорости  $q_r$  и  $q_\theta$  и завихренность  $\zeta$  связаны с функцией тока соотношениями [1]

$$(2.1) \quad q_r = -\frac{1}{r^2 \sin \theta} \frac{\partial \psi}{\partial \theta}, \quad q_\theta = \frac{1}{r \sin \theta} \frac{\partial \psi}{\partial r}, \quad \zeta = \frac{1}{r \sin \theta} E^2 \psi,$$

$$E^2 \psi = \frac{\partial^2 \psi}{\partial r^2} + \frac{1}{r^2} \frac{\partial^2 \psi}{\partial \theta^2} - \frac{\cos \theta}{r^2 \sin \theta} \frac{\partial \psi}{\partial \theta}$$

Уравнения (1.1), (2.1) вместе с уравнением движения и условием несжимаемости

$$(2.2) \quad \frac{\partial \mathbf{q}}{\partial t} - \mathbf{q} \times \boldsymbol{\zeta} = -\mathbf{i}_x - \frac{1}{2} \text{grad } q^2 - \frac{1}{\rho} \text{grad } P$$

$$(2.3) \quad d\rho/dt = 0$$

определяют при заданных начальных и граничных условиях функции  $\Psi$ ,  $P$ ,  $\rho$ ;  $\mathbf{i}_x$  — орт оси  $x$ .

Эти уравнения записаны в безразмерных переменных. В качестве основных размерных величин выбраны  $\rho_2$ ,  $a$  — характерный линейный размер задачи (если начальная форма вихря — шар, то  $a$  — его радиус) и  $T = \sqrt{a/g}$ , где  $g$  — ускорение свободного падения.

Находящаяся на вихревой поверхности  $V(r, \theta, t) = 0$  жидкая частица может перемещаться в нормальном к поверхности направлении только вместе с поверхностью; это означает, что функция удовлетворяет уравнению

$$(2.4) \quad \left[ \frac{\partial V}{\partial t} + \frac{\partial V}{\partial r} (q_r - f' \cos \theta) + \frac{\partial V}{r \partial \theta} (q_\theta + f' \sin \theta) \right]_{v=0} = 0$$

Четную относительно  $\theta$  функцию  $V$  ищем в виде

$$(2.5) \quad V = r - 1 - V^*(\cos \theta, t)$$

Используя (1.3) и (2.1), приведем (2.4) к виду

$$(2.6) \quad \frac{\partial V^*}{\partial t} - \frac{1}{(1+V^*)^2} \frac{\partial \psi^*}{\partial s} = f'(t) \left( s - \frac{1-s^2}{1+V^*} \frac{\partial V^*}{\partial s} \right)$$

Можно показать, что объем, ограниченный поверхностью  $V=0$ , сохраняется постоянным во времени, если  $V^*(s, t)$  удовлетворяет уравнению (2.6). Следовательно, уравнение (2.3) удовлетворяется, если положить  $\rho=1$  при  $v>0$  (вне вихря) и  $\rho=\rho_1/\rho_2$  при  $v<0$  (внутри вихря).

Уравнение (1.1) удовлетворяется в областях  $V \neq 0$ , если положить  $\boldsymbol{\zeta} = -r^{-1} \sin \theta A \delta(V) + c_0 y e(V)$ ,  $c_0 = \text{const}$ ,  $e(v) = 0$  при  $v > 0$ ,  $e(v) = 1$  при  $v < 0$ .

Соотношением  $\Psi = r^2 \sin^2 \theta \Phi$  введем  $\Phi$  вместо  $\Psi$ . Для  $\Phi$ ,  $A$ ,  $P$ ,  $V^*$  из (2.1), (2.2), (2.6) и (1.4), после введения переменных  $v$ ,  $s$  по формулам (1.3), следуют уравнения

$$(2.7) \quad L^2 \Phi_* = A(s, t) \delta(v) + c_0 (v+1+V^*)^2 e(v)$$

$$L^2 \Phi_* = (v+1+V^*)^2 \frac{\partial^2 \Phi_*}{\partial v^2} + 4(v+1+V^*) \frac{\partial \Phi_*}{\partial v} -$$

$$-4s \left( \frac{\partial \Phi_0}{\partial s} - \frac{\partial V^*}{\partial s} \frac{\partial \Phi_0}{\partial v} \right) + (1-s^2) \left[ \frac{\partial}{\partial s} \left( \frac{\partial \Phi_0}{\partial s} - \frac{\partial V^*}{\partial s} \frac{\partial \Phi_0}{\partial v} \right) - \frac{\partial V^*}{\partial s} \frac{\partial}{\partial v} \left( \frac{\partial \Phi_0}{\partial s} - \frac{\partial V^*}{\partial s} \frac{\partial \Phi_0}{\partial v} \right) \right]$$

$$(2.8) \quad \frac{\partial A}{\partial t} = \frac{1}{2} \frac{\partial}{\partial s} \left[ (1-s^2) A \left( \frac{\partial \Phi_0}{\partial v_+} + \frac{\partial \Phi_0}{\partial v_-} + \frac{4\Phi_0 + 2f'}{V^* + 1} \right) \right] + \varepsilon \frac{\partial P_*}{\partial s}$$

$$(2.9) \quad \frac{\partial P_*}{\partial s} = - \frac{\partial}{\partial s} \left[ s(V^* + 1) + \frac{1}{2} (q_0^2 + q_r^2) \right] + f' (q_0 \sin \theta - sq_r) + \frac{\partial V^*}{\partial t} \frac{\partial q_{r*}}{\partial s} - \frac{\partial V^*}{\partial s} \frac{\partial q_{r*}}{\partial t} + \frac{\partial}{\partial t} [(V^* + 1) q_{0*} / \sin \theta]$$

$$(2.10) \quad q_{r*} = -2s\Phi_0 + (1-s^2) \left( \frac{\partial \Phi_0}{\partial s} - \frac{\partial V^*}{\partial s} \frac{\partial \Phi_0}{\partial v} \right) + \frac{q_{0*}}{\sin \theta} = 2\Phi_0 + (V^* + 1) \frac{\partial \Phi_0}{\partial v_+}$$

$$(2.11) \quad \frac{\partial V^*}{\partial t} = -(2\Phi_* + f') \left( s - \frac{1-s^2}{1+V^*} \frac{\partial V^*}{\partial s} \right) + (1-s^2) \frac{\partial \Phi_*}{\partial s}$$

В (2.8)  $\varepsilon = 1 - \rho_2 / \rho_1 < 1$ .

Положение подвижных осей  $x_1 y_1$  относительно осей абсолютных определяется функцией  $f(t)$ . Ниже в п. 3-5 на функцию  $f(t)$  накладывается условие

$$(2.12) \quad s=0, \quad t \geq 0 \quad \partial V^* / \partial s = 0$$

Это условие фиксирует положение оси  $o_1 y_1$  относительно вихря таким образом, что ось  $o_1 y_1$  пересекает границу вихря под углом  $90^\circ$ . К уравнениям (2.7) - (2.12) присоединим начальные условия

$$(2.13) \quad t=0, \quad \Phi_* = \Phi_0(v, s), \quad A = A_0(s), \quad V^* = V_0(s), \quad f=0$$

Вследствие (2.7)  $\Phi_0$  должна удовлетворять уравнению

$$(2.14) \quad L(\Phi_0) = A_0(s) \delta(v) + c_0 (v+1+V_0(s))^2 e(v)$$

Оператор  $L(\Phi_0)$  получается из  $L^2 \Phi_*$ , если в последнем положить  $t=0$ .

Ниже изучается эволюция вихря в неограниченной жидкости, так что граничные условия формулируются в виде

$$(2.15) \quad v \rightarrow +\infty, \quad \Phi_* \rightarrow 0, \quad \partial \Phi_* / \partial v \rightarrow 0, \quad \partial \Phi_* / \partial s \rightarrow 0$$

При этих условиях жидкость на бесконечности покоится. Из уравнений (2.7) - (2.11) следует, что давление непрерывно при  $t \geq 0$ , если функция  $A_0(s)$  непрерывна.

3. Эволюция сферического вихря (начальная стадия). Пусть в (2.13)  $V_0=0$ , т. е. в начальный момент вихрь имеет форму шара. Тогда (2.14) принимает вид

$$(3.1) \quad L(\Phi_0) = A_0(s) \delta(v) + c_0(v+1)^2 e(v)$$

$$(3.2) \quad L(F) = (v+1)^2 \frac{\partial^2 F}{\partial v^2} + 4(v+1) \frac{\partial F}{\partial v} + (1-s^2) \frac{\partial^2 F}{\partial s^2} - 4s \frac{\partial F}{\partial s}$$

Ищем решение уравнений (2.7) – (2.12) в виде

$$(3.3) \quad \Phi_*(v, s, t) = \sum_{k>0} \Phi_k(v, s) t^k, \quad A(s, t) = \sum_{k>0} A_k(s) t^k,$$

$$V^*(s, t) = \sum_{k>0} V_k(s) t^k, \quad f'(t) = \sum_{k>0} u_k t^k \quad (u_k = \text{const})$$

При этом получим ряды по степеням  $t$

$$(3.4) \quad L^2 \Phi_* = \sum_{k>0} t^k L_k \Phi_*, \quad \partial P_*^+ / \partial s = \sum_{k>0} B_k(s) t^k$$

Подставляя ряды (3.3), (3.4) в уравнения (2.7) – (2.12), получим уравнения для функций  $\Phi_k(v, s)$ ,  $A_k(s)$ ,  $V_{k+1}(s)$ ,  $u_k$ . В рамках каждого приближения для  $\Phi_k(v, s)$  получается уравнение вида

$$(3.5) \quad L(\Phi_k) = T_k(v, s) - \left\{ \varepsilon \left[ 2\Phi_k(0, s) + \frac{\partial \Phi_k}{\partial v_+} \right] + R_k(s) \right\} \delta(v)$$

Оператор  $L(\Phi)$  определен формулой (3.2), функции  $T_k(v, s)$  и  $R_k(s)$  зависят только от решений предыдущих приближений; для нулевого приближения получим (3.1).

В областях  $v>0$  и  $v<0$  уравнение (3.5) имеет вид

$$(3.6) \quad L(\Phi_k) = T_k(v, s)$$

Уравнение (3.5) будет удовлетворено, если решения уравнения (3.6) в областях  $v>0$  и  $v<0$  «состыковать» непрерывно на поверхности  $v=0$  так, чтобы для скачка производной  $\partial \Phi_k / \partial v$  выполнялось равенство

$$(3.7) \quad \frac{\partial \Phi_k}{\partial v_+} - \frac{\partial \Phi_k}{\partial v_-} = \varepsilon \left[ 2\Phi_k(0, s) + \frac{\partial \Phi_k}{\partial v_+} \right] + R_k(s)$$

В силу (2.15)  $\Phi_k \rightarrow 0$ ,  $\partial \Phi_k / \partial v \rightarrow 0$ ,  $\partial \Phi_k / \partial s \rightarrow 0$  при  $v \rightarrow +\infty$ .

Уравнение  $L(F)=0$  имеет решения вида

$$(3.8) \quad v<0, \quad F = \sum_{n>0} c_n G_n(s) (v+1)^n; \quad v>0,$$

$$F = \sum_{n>0} b_n G_n(s) (v+1)^{-n-3}$$

Здесь  $G_n(s) = a_0 + \dots + a_n s^n$  – многочлен с целыми коэффициентами, определяемыми формулой

$$a_{m+2} = a_m (m-n) (m+n+3) / (m+2) (m+1), \quad \text{так что } G_0=1, G_1=s, \\ G_2=1-5s^2, G_3=3s-7s^3, \dots$$

Выполнение условия (3.7) обеспечивается выбором произвольных постоянных  $c_n$ ,  $b_n$  в (3.8).

Пусть  $A_0(s) = a_0 = \text{const}$ , тогда (3.1) удовлетворяется при

$$(3.9) \quad v < 0, \quad \Phi_0 = 0, 1c_0[(v+1)^2 - 1] - b_0; \quad v > 0, \quad \Phi_0 = -b_0(v+1)^{-3}$$

$$(3.10) \quad 3b_0 = a_0 + c_0/5$$

Равенство (3.10) следует из условия  $\frac{\partial \Phi_0}{\partial v_+} - \frac{\partial \Phi_0}{\partial v_-} = A_0(s)$ . Из (2.11)

и (2.12) находим  $u_0 = 2b_0$ ,  $V_1 = 0$ .

Уравнения первого приближения. Из (2.7)–(2.10) следует

$$L_1 \Phi_* = A_1(s) \delta(v), \quad L_1 \Phi_* = L(\Phi_1), \quad A_1 = -s(3b_0 + c_0/5)a_0 + \varepsilon B_0,$$

$$B_0 = -1 + 9b_0^2 s + 2\Phi_1(0, s) + \partial \Phi_1 / \partial v_+.$$

Отсюда для  $\Phi_1$  получается уравнение

$$(3.11) \quad L(\Phi_1) = \left\{ -\varepsilon - hs + \varepsilon \left[ 2\Phi_1(0, s) + \frac{\partial \Phi_1}{\partial v_+} \right] \right\} \delta(v)$$

$$h = 9b_0^2(1 - \varepsilon) - (c_0/5)^2$$

Решение уравнения (3.11) ищем в виде

$$v < 0, \quad \Phi_1 = b_1 + c_1 s(v+1), \quad v > 0, \quad \Phi_1 = b_1(v+1)^{-3} + c_1 s(v+1)^{-4}$$

Условие (3.7) дает  $c_1 = h(5 - 2\varepsilon)^{-1}$ ,  $b_1 = \varepsilon(3 - \varepsilon)^{-1}$ . Из (2.11) и (2.12) следует  $u_1 = -2b_1$ ,  $2V_2 = c_1(1 - 3s^2)$ . Для границы вихря, согласно (2.5), получаем уравнение  $r = 1 + t^2 V_2 + o(t^2)$ , из которого видно, что на начальной стадии эволюции вихрь сжимается вдоль оси  $x$ , если  $c_1 > 0$  (т. е. если начальная скорость  $2b_0$  вихря достаточно велика), и растягивается вдоль оси  $x$ , если  $c_1 < 0$ . Вихрь приобретает вертикальное ускорение  $-2b_1$ , знак которого зависит от соотношения плотностей внутри и вне вихря.

При  $c_1 = 0$  для границы вихря следует уравнение

$$r = 1 + \frac{1}{3} c_2 (1 - 3s^2) t^3 + \left[ \frac{1}{4} c_3 (1 - 3s^2) + ds^3 \right] t^4 + o(t^4), \quad c_2 = -3b_0 m,$$

$$c_3 = b_1 m, \quad m = 3b_1(1 - \varepsilon)(5 - 2\varepsilon)^{-1}, \quad d = 15b_0 c_2(1 - \varepsilon)(7 - 3\varepsilon)^{-1}$$

Задача об эволюции вихря при начальных условиях (3.9) изучалась в работе [2]. Авторы этой работы заменили уравнение (1.1) приближенным и изучили задачу только при  $c_1 = 0$ , считая это равенство необходимым для непрерывности давления при  $t = 0$ . Но, как отмечалось выше, в силу точных уравнений давление непрерывно при любой непрерывной функции  $A_0(s)$ , т. е. при любом  $c_1$ .

4. Эволюция сферического вихря в однородной жидкости. Для однородной жидкости  $\rho_1 = \rho_2$ ,  $\varepsilon = 0$ . Уравнения (2.7)–(2.12), (3.1) сохраняют силу. Рассмотрим течение с начальными условиями (3.9). Если в (3.10)  $a_0 = 0$ , то задача имеет стационарное решение  $\Phi_* = \Phi_0$ ,  $A = 0$ ,  $V^* = 0$  – вихрь Хилла. При  $a_0 \neq 0$  решение задачи нестационарно.

Особый интерес представляет случай  $b_0 = 0$ , когда в начальный момент окружающая вихрь жидкость покоится. При  $\varepsilon = 0$ ,  $b_0 = 0$  находим

$$v < 0: \quad 5\Phi_1 = -a_0^2 s(v+1),$$

$$\Phi_2 = \left[ -\frac{1}{25} G_2(s)(v+1)^2 + \frac{1}{10}(1-3s^2)(v+1) + \frac{2}{75} \right] a_0^3$$

$$v > 0: \quad 5\Phi_1 = -a_0^2 s(v+1)^{-4},$$

$$\Phi_2 = \left[ \frac{1}{15}(v+1)^{-3} + \frac{9}{350} G_2(s)(v+1)^{-5} \right] a_0^3$$

Для границы вихря и его скорости следуют уравнения

$$r=1-\frac{1}{10}(1-3s^2)a_0^2t^2+\frac{6}{35}s^3a_0^3t^3+o(t^3),$$

$$f'=-\frac{232}{525}a_0^3t^2+o(t^2)$$

Вихрь начинает двигаться вдоль оси  $x$ , вытягиваясь в направлении движения.

Ряды (3.3) (по крайней мере их первые члены) можно эффективно построить, когда  $A_0(s)$  — многочлен. В этом случае  $\Phi_0 = F_0 + 0.1c_0[(v+1)^2-1]$  при  $v < 0$  и  $\Phi_0 = F_0 - b_0(v+1)^{-3}$  при  $v > 0$ , где  $F_0$  — функция вида (3.8).

5. Эволюция жидкого «пятна» в жидкой среде. Пусть  $\varepsilon \neq 0$ , начальные условия  $\Phi_0 = A_0 = V_0 = f(0) = 0$ . Это означает, что в покоящейся в момент  $t=0$  жидкой среде покоится жидкий шар, отличающийся плотностью от окружающей среды. Нас интересует эволюция его формы. Подобная задача об эволюции жидкого «пятна», но в устойчиво стратифицированной среде, изучалась численно в работе [4].

Уравнения (2.7)–(2.12) сохраняют силу, но в (2.7) и (2.14) следует положить  $c_0=0$ . Решения ищем в виде рядов (3.3), причем  $\Phi_k = A_k = V_{k+1} = u_k = 0$  при четных  $k$ . Для первых членов этих рядов получим

$$v < 0: \Phi_1 = c_1, \Phi_3 = c_3 s(v+1); v > 0: \Phi_1 = c_1(v+1)^{-3},$$

$$\Phi_3 = c_3 s(v+1)^{-4};$$

$$c_1 = \varepsilon(3-\varepsilon)^{-1}, c_3 = 3(1-\varepsilon)c_1^2(5-2\varepsilon)^{-1} > 0, u_1 = -2c_1, u_3 = 0,$$

$$V_2 = 0, 4V_4 = c_3(1-3s^2), V_6 = \gamma(\varepsilon)c_3^{3/2}s^3$$

Формула для  $\gamma(\varepsilon)$  громоздка, так что приведем только несколько значений:  $\gamma(-10) = 1.388$ ,  $\gamma(-0.9) = 1.213$ ,  $\gamma(-0.5) = 1.175$ ,  $\gamma(0.1) = -1.088$ ,  $\gamma(0.5) = -0.995$ ,  $\gamma(0.9) = -0.934$ .

Граница «пятна» и его скорость определяются формулами

$$r=1+V_4t^4+V_6t^6+o(t^6), f'=-2c_1t+o(t^4)$$

На фигуре  $\varepsilon = -0.9$ ,  $t = 0.7c_3^{-1/4}$  указана форма всплывающего «пятна» и мгновенная картина линий тока (качественно); уравнение этих линий  $Q_x dx_1 - Q_y dy_1 = 0$ , составляющие  $Q_x Q_y$  скорости относительно осей  $x_1 y_1$  отыскиваются по функции  $\Phi$ .

6. Цилиндрические вихри постоянной завихренности. В случае течения несжимаемой идеальной жидкости, параллельного плоскости  $xu$ , также существует функция тока  $\psi$ . Для плоского течения справедливы уравнения (1.1) и (1.2), если в них положить  $k=0$ . Смысл величин, входящих в эти уравнения, соответствует плоскому течению.

Из уравнений (1.1), (1.2) и (2.3) совместно с

$$(6.1) \quad q_r = -\frac{\partial \psi}{r \partial \theta}, \quad q_\theta = \frac{\partial \psi}{\partial r},$$

$$\zeta = E^2 \psi = \frac{\partial^2 \psi}{\partial r^2} + \frac{1}{r} \frac{\partial \psi}{\partial r} + \frac{1}{r^2} \frac{\partial^2 \psi}{\partial \theta^2}$$

определяются неизвестные функции  $\psi$ ,  $P$ ,  $\rho$ . Считая жидкость однородной, положим  $\rho=1$ . Дальнейшая постановка задачи о цилиндрических вихрях аналогична приведенной выше постановке задачи о вихрях типа сфери-

ческого. Предполагается, что вихрь ограничен поверхностью  $V=r-1-V^*(\theta, t)=0$ . Вводятся криволинейные координаты  $v, \theta$  по формулам

$$x=f(t)+[v+1+V^*(\theta, t)] \cos \theta, \quad y=\varphi(t)+[v+1+V^*(\theta, t)] \sin \theta$$

На фигуре  $\varphi=0$ ; при  $\varphi \neq 0$  ось  $x_1$  параллельна  $x$ ;  $r=v+1+V^*$ ,  $\theta$  — полярные координаты в плоскости  $x_1 y_1$  с полюсом  $o_1$ ;  $D_* = -(v+1+V^*)^{-1}$ .

Уравнение (1.1) удовлетворяется в области  $v \neq 0$ , если положить  $\zeta = -A(\theta, t)(1+V^*)^{-1} \delta(v) + c_0 e(v)$ .

Соотношением  $\psi = r\Phi$  введем функцию  $\Phi$  вместо  $\psi$ . Из (6.1) для  $\Phi_*(v, \theta, t) = \Phi(x, y, t)$  следует уравнение

$$(6.2) \quad L^2 \Phi_* = -A(\theta, t) \delta(v) + c_0 (v+1+V^*) e(v)$$

$$L^2 \Phi_* = (v+1+V^*)^2 \frac{\partial^2 \Phi_*}{\partial v^2} + 3(v+1+V^*) \frac{\partial \Phi_*}{\partial v} + \Phi_* + \\ + \frac{\partial}{\partial \theta} \left( \frac{\partial \Phi_*}{\partial \theta} - \frac{\partial V^*}{\partial \theta} \frac{\partial \Phi_*}{\partial v} \right) - \frac{\partial V^*}{\partial \theta} \frac{\partial}{\partial v} \left( \frac{\partial \Phi_*}{\partial \theta} - \frac{\partial V^*}{\partial \theta} \frac{\partial \Phi_*}{\partial v} \right)$$

Уравнение (1.2) принимает вид

$$(6.3) \quad \frac{\partial A}{\partial t} + \frac{1}{2} \frac{\partial}{\partial \theta} \left[ A \left( \frac{\partial \Phi_*}{\partial v_+} + \frac{\partial \Phi_*}{\partial v_-} + 2 \frac{\Phi_* + f' \sin \theta - \varphi' \cos \theta}{V^* + 1} \right) \right] = 0$$

Функция  $V^*(\theta, t)$  удовлетворяет уравнению

$$(6.4) \quad \frac{\partial V^*}{\partial t} + \frac{1}{V^* + 1} \frac{\partial}{\partial \theta} [(V^* + 1)(\Phi_* + f' \sin \theta - \varphi' \cos \theta)] = 0$$

На функции  $f(t)$  и  $\varphi(t)$  накладываются условия

$$(6.5) \quad \theta = 0, \quad \theta = \pi/2, \quad t \geq 0, \quad \partial V^* / \partial \theta = 0$$

Уравнения (6.2)–(6.5) аналогичны (2.7), (2.8), (2.11), (2.12). Граничные условия имеют вид (2.15), а начальные

$$(6.6) \quad t = 0, \quad \Phi_* = \Phi_0(v, \theta), \quad A = A_0(\theta), \quad V^* = 0, \quad f = \varphi = 0$$

Вследствие (6.2) должно выполняться

$$(6.7) \quad L(\Phi_0) = -A_0(\theta) \delta(v) + c_0 (1+v) e(v) \\ L(F) = (v+1)^2 \frac{\partial^2 F}{\partial v^2} + 3(v+1) \frac{\partial F}{\partial v} + F + \frac{\partial^2 F}{\partial \theta^2}$$

При построении решения задачи (6.2)–(6.6) используются аналогично (3.8) периодические по  $\theta$  (с периодом  $2\pi$ ) с разделяющимися переменными решения уравнения  $L(F) = 0$ . Нетрудно проверить, что  $\Phi_0 = F_0 + 0.25c_0(v+1)$  при  $v < 0$  и  $\Phi_0 = F_0 + 0.25c_0(v+1)^{-1}$  при  $v > 0$ , где  $L(F_0) = 0$  в областях  $v \neq 0$ .

При  $A_0(\theta) = a_0 + a_1 \cos \theta$  получим

$$v < 0: \quad \Phi_0 = b_0 \cos \theta + 0.25c_0(v+1);$$

$$v > 0: \quad \Phi_0 = b_0 \cos \theta (v+1)^{-2} + 0.25c_0(v+1)^{-1}; \quad c_0 = 2a_0, \quad 2b_0 = a_1$$

Начальными условиями определяется поле скоростей (относительно осей  $x_1, y_1$ ) с составляющими  $Q_r = 0$ ,  $Q_\theta = a_0 r$  внутри вихря и  $Q_\alpha = -0.5a_1 r^{-2} \sin 2\theta$ ,  $Q_v = -0.5a_1(1+r^{-2} \cos 2\theta)$  вне вихря. Начальная скорость вихря относительно покоящихся осей равна  $0.5a_1$  и направлена параллельно оси  $y$ . Форма вихря и скорость связанных с ним осей определя-



ются формулами

$$r=1+0.5a_1^2 t^2 \cos 2\theta + o(t^2), \quad f'(t)=2a_0 a_1^2 t^2 + o(t^2),$$
$$\varphi'(t) = \frac{1}{2} a_1 \left[ 1 + \frac{1}{8} a_1 (9a_1 - 32a_0) t^2 + o(t^2) \right]$$

Вихрь ускоряется, если  $9a_1^2 - 32a_0 a_1 > 0$ ; его скорость меняется по величине и направлению.

Поступила 5 VII 1978

#### ЛИТЕРАТУРА

1. Милл-Томсон Л. И. Теоретическая гидродинамика. М., «Мир», 1964.
2. Simons G. A., Larson R. S. Formation of vortex rings in a stratified atmosphere. Phys. Fluids, 1974, vol. 17, No. 1.
3. Новиков Е. А. Динамика и статистика системы вихрей. ЖЭТФ, 1975, т. 68, в. 5.
4. Кузнецов Б. Г., Черных Г. Г. Численное исследование поведения однородного «пятна» в идеальной стратифицированной по плотности жидкости. ПМТФ, 1973, № 3.